

## 繰返し応力履歴をうけた粘土の強度変化

西日本工業大学 正守原一哉・平尾和年・○原義男  
北九州市 真山久雄・川上博人・脇坂彰

## 1. はじめに

飽和粘土が繰返し応力をうけた場合、間隙水圧の累積に伴い一時的に過圧密状態になる。本文では、このようないくつかの履歴に伴う  $e$ - $\log p$ - $C_u$  関係

2. 動的応力履歴後の強度変化<sup>1), 2)</sup>

繰返し応力をうけた粘土供試体のせん断強度は、間隙水圧の累積あるいは練り返しにより、履歴前の強度に比べ低下することが予想される。本文では、過圧密土と正規圧密土の非排水せん断強度比

$$\frac{(C_u/p)_o}{(C_u/p)_c} = n^{\lambda_0} \quad \dots \dots \dots (1)$$

を基にして以下の考察を進めるこにする。

いま、図-1を参照して

$$\frac{C_{uo}}{C_{ui}} = n^{\lambda_0} \cdot \frac{1}{(P_c/P_o)} = n^{\lambda_0 - (1-\lambda)} \quad \dots \dots \dots (2)$$

$$\lambda_0 = 1 - \lambda \text{ のとき}$$

$$C_{uo} = C_{ui} \quad \dots \dots \dots (3)$$

式(2)における過圧密比  $n$  は

$$n = \frac{P_c}{P_o} = (n_g)^{\frac{1}{1-\lambda}} = \left( \frac{P_c}{P_o} \right)^{\frac{1}{1-\lambda}} = \left( \frac{1}{1 - \frac{\Delta u}{P_c}} \right)^{\frac{1}{1-\lambda}} \quad \dots \dots \dots (4)$$

式(4)から式(2)は

$$\frac{C_{uo}}{C_{ui}} = \left( \frac{1}{1 - \frac{\Delta u}{P_c}} \right)^{\frac{\lambda_0}{1-\lambda}} - 1 \quad \dots \dots \dots (5)$$

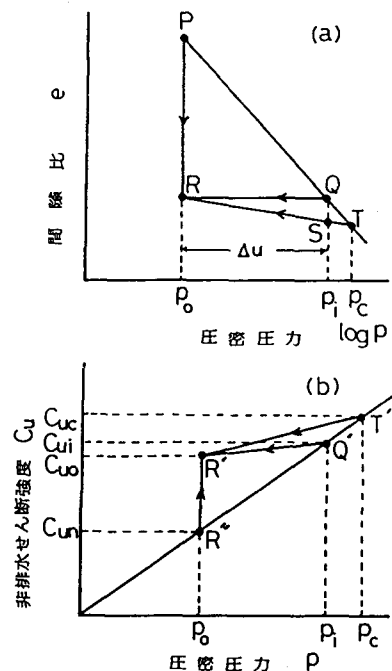
と表わされる。これが、提案する間隙水圧累積に伴う強度変化の予測式である。

## 3. 実験概要

実験には、練り返した有明粘土を再圧密したものを使用し、その指標的性質は実験条件とともに表-1に示している。繰返し三軸圧縮試験機は既報に詳しいので省略する。また、繰返し応力負荷後の静的せん断試験は、ひずみ速度  $0.1\%/\text{min}$  で行つた。間隙水圧は供試体底面で計測している。

表-1 実験条件

Index properties	Series	$O_1 = O_3$ (kPa)	BP (kPa)	$O_r$ (kPa)	f (Hz)	N (cycles)	Drained condition	Loading method	
$G_s = 2.647$ $W_L = 123\%$ $I_p = 69$ $C_C = 0.700$ $C_S = 0.163$	A	200	200	40	1	3600	Undrained		
				80					
	B			100	3	$5.2 \cdot 10^5$	Undrained		
				120					
		C	CIU	100	0.1	$1.7 \cdot 10^6$	Drained		
				100	3	$5.2 \cdot 10^5$			
				100	0.1	$1.7 \cdot 10^6$			
間隙水圧は供試体底面で計測している。									

図-1 いくつかの履歴に伴う  $e$ - $\log p$ - $C_u$  関係

式(5)を確かめるために、繰返し応力履歴をうけない静的せん断試験も実施している。

#### 4. 実験結果と考察

シリーズAの非排水せん断時におけるストレスパスを図-2に示す。有効応力を整理した繰返し応力履歴後の静的せん断強度は正規圧密土の強度よりやや低下している。また、繰返し応力の大きさによるせん断強度の相違はそれほど見られない。

ここで、前に述べた強度変化の予測式を用いて計算した結果が図-3である。計算に必要な実験定数は、それが

$$\begin{aligned} \lambda &= C_s / C_c, \quad M = \eta / p' \\ \lambda_0 &= \frac{1}{\ln 2} \cdot \ln \left( \frac{M}{2m} \right) \end{aligned} \quad \text{--- (6)}$$

によって求めている。計算値と実測値との対応については、 $\sigma_r = 120 \text{ kPa}$  の繰返し応力履歴をうけた供試体の結果が大きくはずれている。しかし、他の供試体の  $\frac{C_{uo}}{C_{ui}}$  値はやや計算値に近い値を示すようである。とは言え、今回の実験では  $\frac{\Delta u}{p_i}$  が 0.3 以下に限られているため  $\frac{\Delta u}{p_i}$  がさらに大きい範囲についても実験的補足を行い、予測式の妥当性を検証する必要がある。

次に、シリーズAでは繰返し応力載荷時間が1hr(3600回)と短いため、せん断強度の低下が顕著でないと認めめたので、シリーズBでは繰返し載荷時間の影響を調べるために48hrとし、併せて周波数・繰返し中の排水条件を変えて行った。シリーズBのストレスパスを図-4に示している。こより、非排水条件で繰返し応力履歴をうけた供試体については、その後のせん断強度に繰返し載荷時の周波数の影響はほとんどみられないようである。一方、排水条件で繰返し履歴をうけた供試体では、せん断強度に周波数の影響を強くうけて、周波数の高い供試体の強度が大きくなっている。また、排水条件で繰返し履歴をうけた供試体のせん断強度が、周波数に拘わらず非排水条件のそれより大きくなることは急速な繰返し荷重のもとでも圧密現象が進行したため、このような結果になったものと思われる。

#### 5. まとめ

繰返し応力履歴をうけた飽和粘土のその後のせん断強度の変化について数シリーズの実験を行い、提案した予測式の妥当性を検討した。その結果、i) せん断強度の予測値は  $\frac{\Delta u}{p_i}$  が小さい領域では実測値に近い値を示すが、 $\frac{\Delta u}{p_i}$  が大きい領域での実験的補足がさらに必要である。ii) 繰返し応力履歴後のせん断強度は正規圧密土に比べ若干低下する。iii) 繰返し応力載荷中の排水条件が履歴後のせん断強度に大きく影響する。

引用文献 1) 安原他 (1982): 第37回年会, 2) 守原他 (1982): 第17回工質年会, 3) K. Yasuhara et al.: S&P, Vol. 22, No. 3, 4) 第17回工質年会

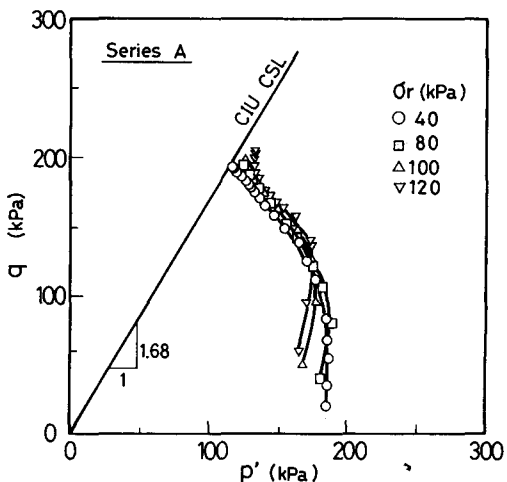


図-2 非排水せん断時のストレスパス

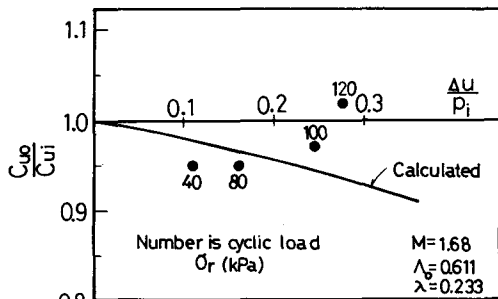


図-3 計算値と実測値の対応

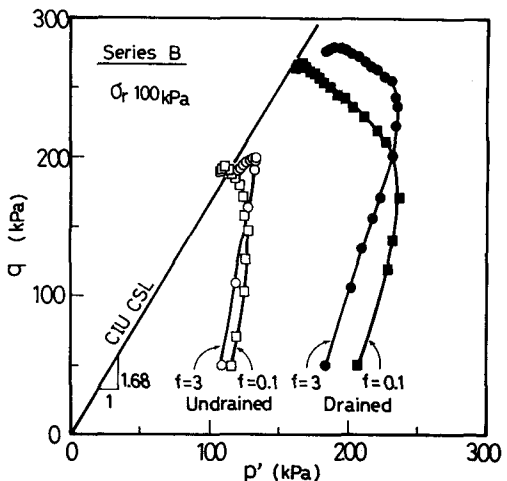


図-4 非排水せん断時のストレスパス